

## **О влиянии ориентации сфероидальных полостей или жестких включений в ортотропной среде на концентрацию напряжений**

**В. С. Кирилюк**

Институт механики им. С. П. Тимошенко НАН Украины, Киев, Украина

*Рассмотрена задача о концентрации напряжений в ортотропной упругой среде, что содержит произвольно ориентированную сфероидальную полость или включение. Для построения решения задачи используются метод эквивалентного включения, тройное преобразование Фурье по пространственным переменным и Фурье-образ функции Грина для бесконечного анизотропного пространства. При вычислении некоторых двойных интегралов по конечной области используются квадратурные формулы Гаусса. Проведено сравнение результатов исследований в частных случаях с данными других авторов. Исследовано влияние ориентации неоднородности на концентрацию напряжений.*

**Ключевые слова:** сфероидальная полость, метод эквивалентного включения, тройное преобразование Фурье, формулы Гаусса.

**Введение.** Напряженно-деформированное состояние упругих изотропных материалов со сферическими, сфероидальными (эллипсоиды вращения) и эллипсоидальными полостями и включениями исследовалось в работах [1–11] и др. Распределение напряжений в трансверсально-изотропных средах, содержащих сферические, сфероидальные полости или включения, изучалось в [1, 2, 5, 12] и др. Принципиальное ограничение в задачах для трансверсально-изотропной среды с полостями или включениями состояло в рассмотрении таких ориентаций неоднородностей, при которых ось трансформации материала совпадает с осью вращения полости или включения, другие возможные ориентации концентраторов напряжений не рассматривались. Полученные точные решения задач основаны на известных представлениях общих решений пространственных статических задач для изотропной и трансверсально-изотропной среды. При другой направленности сфероидальной неоднородности необходимо вводить новую систему координат, связанную с включением. И хотя в новой системе координат достаточно просто описать поверхность включения, в направлениях осей координат исходный трансверсально-изотропный материал ведет себя как анизотропный. В этом случае известные общие представления решений для трансверсально-изотропного материала не позволяют получить решения конкретных задач о концентрации напряжений.

Достаточно полный обзор и анализ решений статических задач теории упругости анизотропных тел, в том числе ортотропных, дан в [13]. Однако до настоящего времени неизвестны аналитические решения задач о распределениях напряжений в ортотропных материалах (без специальных ограничений на девять независимых упругих постоянных) вблизи сферических, сфероидальных и эллипсоидальных полостей и включений и в трансверсально-изотропных материалах со сфероидальными и эллипсоидальными включениями при различных направлениях осей вращения включений и осей трансформации сред.

В данном сообщении рассматривается задача о концентрации напряжений в ортотропной среде, содержащей сфероидальное включение, ось вращения которого ориентирована произвольным образом, при растяжении. При решении задачи использовалось тройное преобразование Фурье, что совместно с методом эквивалентного включения Эшелби позволило в процессе решения получить конечную систему линейных алгебраических уравнений, коэффициентами которой являются некоторые двойные интегралы. Подынтегральные функции в двойных интегралах не имеют каких-либо особенностей в области интегрирования, и для вычисления этих интегралов использовались квадратурные формулы Гаусса.

**Постановка задачи.** Пусть упругая ортотропная среда с главными осями ортотропии  $Ox$ ,  $Oy$ ,  $Oz$  содержит сфероидальную неоднородность (включение) с полуосями  $a_1 = a_2$ ,  $a_3$ . Упругие свойства ортотропного материала характеризуются девятью независимыми постоянными:  $c_{11}$ ;  $c_{22}$ ;  $c_{33}$ ;  $c_{12}$ ;  $c_{13}$ ;  $c_{23}$ ;  $c_{44}$ ;  $c_{55}$ ;  $c_{66}$ . Компоненты тензора упругих модулей  $C_{ijkl}$  связаны с величинами  $c_{mn}$  следующими зависимостями:

$$\begin{aligned} C_{1111} &= c_{11}; & C_{2222} &= c_{22}; & C_{3333} &= c_{33}; \\ C_{1122} &= C_{2211} = c_{12}; & C_{1133} &= C_{3311} = c_{13}; & C_{2233} &= C_{3322} = c_{23}; \\ C_{2323} &= C_{2332} = C_{3232} = C_{3223} = c_{44}; & C_{3131} &= C_{3113} = C_{1331} = C_{1313} = c_{55}; \\ C_{1212} &= C_{1221} = C_{2121} = C_{2112} = c_{66}, \end{aligned}$$

оставшиеся компоненты равны нулю. Предположим также, что среда находится под воздействием однородного поля напряжений. Из-за наличия включения возникает возмущение основного напряженного состояния.

Введем новую (локальную) систему координат  $x^1$ ,  $y^1$ ,  $z^1$ , связанную с включением, ось  $Oz^1$  которой направлена вдоль оси вращения включения. Полагаем, что в исходном состоянии направления осей систем координат  $x$ ,  $y$ ,  $z$  и  $x^1$ ,  $y^1$ ,  $z^1$  совпадают. Если же включение ориентировано в ортотропной среде иным образом, то такую ориентацию можно описать посредством связи этих систем координат. Например, если новую систему координат  $x^1$ ,  $y^1$ ,  $z^1$  можно получить из исходной системы поворотом вправо вокруг оси  $Ox$  на угол  $\alpha$ , то тензор упругих модулей  $C_{ijkl}^\alpha$  в этой системе координат получаем с помощью преобразования тензора четвертого порядка:

$$C_{ijkl}^\alpha = C_{mnpq} \alpha_{im} \alpha_{jn} \alpha_{kp} \alpha_{lq},$$

где  $\alpha_{ij}$  – матрица преобразования координат,

$$\alpha_{ij} = \begin{bmatrix} 1 & 0 & 0 \\ 0 & \cos \alpha & -\sin \alpha \\ 0 & \sin \alpha & \cos \alpha \end{bmatrix}.$$

Закон Гука для материала в новой системе координат принимает вид

$$\sigma_{ij} = C_{ijkl}^{\alpha} \varepsilon_{kl},$$

где, как и при вычислении компонентов тензора  $C_{ijkl}^{\alpha}$ , по повторяющимся индексам проводится суммирование.

Последовательные вращения на углы  $\alpha$ ,  $\beta$ ,  $\gamma$  вокруг осей старой системы координат  $Ox$ ,  $Oy$ ,  $Oz$  соответственно позволяют получить произвольную ориентацию включения. Тогда тензор упругих модулей  $C_{ijkl}^{(\alpha, \beta, \gamma)}$ , который зависит от трех углов поворота, в новой системе координат получаем с помощью преобразования тензора четвертого порядка и матрицы преобразования более сложного вида:

$$C_{ijkl}^{(\alpha, \beta, \gamma)} = C_{mnpq} T_{im} T_{jn} T_{kp} T_{lq}. \quad (1)$$

Здесь  $T_{ij}$  – матрица преобразования,

$$T_{ij} = \begin{bmatrix} T_{11} & T_{12} & T_{13} \\ T_{21} & T_{22} & T_{23} \\ T_{31} & T_{32} & T_{33} \end{bmatrix},$$

где

$$\begin{aligned} T_{11} &= \cos \beta \cos \gamma; & T_{12} &= -\cos \beta \sin \gamma; & T_{13} &= \sin \beta; \\ T_{21} &= \sin \alpha \sin \beta \cos \gamma + \cos \alpha \sin \gamma; & T_{22} &= -\sin \alpha \sin \beta \sin \gamma + \cos \alpha \cos \gamma; \\ T_{23} &= -\sin \alpha \cos \beta; & T_{31} &= -\cos \alpha \sin \beta \cos \gamma + \sin \alpha \sin \gamma; \\ T_{32} &= \cos \alpha \sin \beta \sin \gamma + \sin \alpha \cos \gamma; & T_{33} &= \cos \alpha \cos \beta. \end{aligned}$$

Эта матрица получена в результате последовательного перемножения трех матриц, отражающих правые вращения вокруг каждой из осей координат:

$$\alpha_{ij} = \begin{bmatrix} 1 & 0 & 0 \\ 0 & \cos \alpha & -\sin \alpha \\ 0 & \sin \alpha & \cos \alpha \end{bmatrix}; \quad \beta_{ij} = \begin{bmatrix} \cos \beta & 0 & \sin \beta \\ 0 & 1 & 0 \\ -\sin \beta & 0 & \cos \beta \end{bmatrix}; \quad \gamma_{ij} = \begin{bmatrix} \cos \gamma & -\sin \gamma & 0 \\ \sin \gamma & \cos \gamma & 0 \\ 0 & 0 & 1 \end{bmatrix}.$$

Закон Гука для материала в новой системе координат, связанных с вращением вокруг трех старых осей координат, получим в виде

$$\sigma_{ij} = C_{ijkl}^{(\alpha, \beta, \gamma)} \varepsilon_{kl},$$

где по повторяющимся индексам проводится суммирование.

Далее все решения будем строить в новой системе координат, однако во избежание излишней громоздкости в выражениях верхние индексы “1” опускаем. Используем обычную тензорную запись выражений, т.е. подразуме-

ваем, что по повторяющимся индексам проводится суммирование. Заметим, что, ничего не изменяя в схеме решения задачи, вместо преобразования  $T_{ij}$ , связанного с вращением вокруг осей координат  $Ox$ ,  $Oy$ ,  $Oz$ , можно было бы ввести другое преобразование, отвечающее поворотам с углами Эйлера. Однако для наглядности используется преобразование при последовательных вращениях вокруг трех различных осей координат.

Напряженное состояние в среде (матрице) представим суперпозицией основного поля и возмущения, вызванного наличием неоднородности. Для построения возмущенного состояния воспользуемся схемой метода эквивалентного включения и запишем соответствующие уравнения эквивалентности в области включения (неоднородности) в следующем виде:

$$C_{ijkl}^{1(\alpha,\beta,\gamma)}(\varepsilon_{kl}^0 + \varepsilon_{kl}) = C_{ijkl}^{(\alpha,\beta,\gamma)}(\varepsilon_{kl}^0 + \varepsilon_{kl} - \varepsilon_{kl}^*), \quad \bar{x} \in \Omega, \quad (2)$$

где  $C_{ijkl}^{1(\alpha,\beta,\gamma)}$ ,  $C_{ijkl}^{(\alpha,\beta,\gamma)}$  – тензоры упругих модулей неоднородности и матрицы соответственно в локальной системе координат (далее для полости  $C_{ijkl}^{1(\alpha,\beta,\gamma)}$  устремим к нулю);  $\varepsilon_{ij}^*(\bar{x})$  – тензор “свободных” деформаций, который определяется из условий эквивалентности включения (области среды с теми же упругими свойствами, что и матрица, но со “свободными” деформациями) и неоднородности. Деформации  $\varepsilon_{ij}^0$  получаем по значениям напряжений  $\sigma_{ij}^0$  основного поля из закона Гука. Если же известны их значения в исходной системе координат, то в новой системе координат их легко определить по правилу преобразования тензоров второго порядка.

**Построение решения задачи.** Для решения рассматриваемой задачи необходимо выразить тензор деформаций  $\varepsilon_{ij}$ , входящий в уравнения (2), через тензор “свободных” деформаций  $\varepsilon_{ij}^*$  из задачи о включении (при отсутствии внешних воздействий и при деформациях  $\varepsilon_{ij}^*$  в области включения). В этом случае будут удовлетворяться уравнения равновесия вне и внутри включения и выполняться условия идеального контакта на границе раздела фаз (следует из свойств задачи о включении [7]). Для анизотропной среды соответствующие поля перемещений, деформаций и напряжений, вызванные “свободными” деформациями  $\varepsilon_{ij}^*(\bar{x})$ , представим согласно [7, 11] в виде следующих интегралов по области включения:

$$\left\{ \begin{aligned} u_i(\bar{x}) &= - \int_{\Omega} C_{jlmn}^{(\alpha,\beta,\gamma)} \varepsilon_{mn}^*(\bar{x}') G_{ij,l}^{(\alpha,\beta,\gamma)}(\bar{x} - \bar{x}') d\bar{x}'; \\ \varepsilon_{ij}(\bar{x}) &= - \frac{1}{2} \int_{\Omega} C_{klmn}^{(\alpha,\beta,\gamma)} \varepsilon_{mn}^*(\bar{x}') \{ G_{ik,lj}(\bar{x} - \bar{x}') + G_{jk,li}(\bar{x} - \bar{x}') \} d\bar{x}'; \\ \sigma_{ij}(\bar{x}) &= - C_{ijkl}^{(\alpha,\beta,\gamma)} \left\{ \int_{\Omega} C_{pqmn}^{(\alpha,\beta,\gamma)} \varepsilon_{mn}^*(\bar{x}') G_{kp,ql}^{(\alpha,\beta,\gamma)}(\bar{x} - \bar{x}') d\bar{x}' \right\}, \end{aligned} \right. \quad (3)$$

где  $C_{ijkl}^{(\alpha,\beta,\gamma)}$  – тензор упругих модулей среды, запятая после нижнего индекса означает дифференцирование по соответствующей переменной, по повторяющимся индексам проводится суммирование;  $G_{ij}^{(\alpha,\beta,\gamma)}(\vec{x} - \vec{x}')$  – функция Грина для бесконечной среды (фундаментальное решение) для матрицы, т.е. она удовлетворяет таким уравнениям равновесия анизотропного тела:

$$C_{ijkl}^{(\alpha,\beta,\gamma)} G_{km,jl}^{(\alpha,\beta,\gamma)}(\vec{x} - \vec{x}') + \delta_{im} \delta(\vec{x} - \vec{x}') = 0, \quad (4)$$

где  $\delta(\vec{x} - \vec{x}')$  –  $\delta$ -функция Дирака;  $\delta_{im}$  – символ Кронекера, по повторяющимся индексам проводится суммирование.

Воспользуемся согласно [7, 11] следующим интегральным выражением фундаментального решения для анизотропной среды:

$$G_{ij}^{(\alpha,\beta,\gamma)}(\vec{x} - \vec{x}') = \frac{1}{(2\pi)^3} \int_{-\infty}^{\infty} \int_{-\infty}^{\infty} \int_{-\infty}^{\infty} N_{ij}(\vec{\xi}) D^{-1}(\vec{\xi}) e^{i\vec{\xi}(\vec{x}-\vec{x}')} d\xi_1 d\xi_2 d\xi_3, \quad (5)$$

где  $N_{ij}(\vec{\xi})$  – соответствующие алгебраические дополнения элементов матрицы

$$\{K_{ki}(\vec{\xi})\} = \{C_{kjil}^{(\alpha,\beta,\gamma)} \xi_j \xi_l\} = \{C_{klij}^{(\alpha,\beta,\gamma)} \xi_l \xi_j\} = \{C_{ijkl}^{(\alpha,\beta,\gamma)} \xi_l \xi_j\} = \{K_{ik}(\vec{\xi})\}, \quad (6)$$

$D(\vec{\xi})$  – ее определитель.

Используемый трехкратный интеграл обозначим  $\int_{-\infty}^{\infty} d\vec{\xi}$ , где  $d\vec{\xi} = d\xi_1 d\xi_2 d\xi_3$ .

С помощью формул (3), (4) поле перемещений можно представить в виде

$$u_i(\vec{x}) = -\frac{1}{(2\pi)^3} \frac{\partial}{\partial x_l} \int_{\Omega} \int_{-\infty}^{\infty} C_{jlmn}^{(\alpha,\beta,\gamma)} \varepsilon_{mn}^*(\vec{x}') N_{ij}(\vec{\xi}) D^{-1}(\vec{\xi}) e^{i\vec{\xi}(\vec{x}-\vec{x}')} d\vec{\xi} d\vec{x}'.$$

Отметим, что тройной интеграл (5) в соответствии с результатами работы [8] может быть приведен к контурному интегралу в плоскости, нормальной к вектору положения точки  $\vec{x}$ . Тогда функцию Грина для анизотропной среды можно записать в виде [8]

$$G_{ij}^{(\alpha,\beta,\gamma)} = \frac{1}{8\pi|\vec{x}|} \int_L N_{ij}(\vec{\xi}) D^{-1}(\vec{\xi}) dL,$$

где  $L$  – единичная окружность.

После ряда достаточно громоздких преобразований [8] поле перемещений внутри эллипсоида, вызванное постоянным тензором свободных деформаций, представим в виде [11]

$$u_i(\vec{x}) = \frac{1}{4\pi} C_{jlmn}^{(\alpha, \beta, \gamma)} \varepsilon_{mn}^* x_k \int_{-1}^1 \int_0^{2\pi} \tilde{G}_{ijkl}^{(\alpha, \beta, \gamma)}(\vec{\xi}) d\theta d\bar{\eta}_3, \quad (7)$$

где

$$\begin{aligned} \tilde{G}_{ijkl}^{(\alpha, \beta, \gamma)}(\vec{\xi}) &= \bar{\xi}_k \bar{\xi}_l N_{ij}(\vec{\xi}) / D(\vec{\xi}) = \bar{\xi}_k \bar{\xi}_l (K_{kl}(\vec{\xi}))^{-1}; \\ \bar{\xi}_1 &= \frac{\sqrt{1 - \bar{\xi}_3^2}}{a_1} \cos \theta; \quad \bar{\xi}_2 = \frac{\sqrt{1 - \bar{\xi}_3^2}}{a_1} \sin \theta; \quad \bar{\eta}_3 = \bar{\xi}_3 / a_3. \end{aligned}$$

Окончательно связь между тензором деформаций  $\varepsilon_{ij}$  и тензором  $\varepsilon_{ij}^*$  для задачи о включении (без воздействия основного поля) можно записать в виде

$$\varepsilon_{ij} = S_{ijmn}^{(\alpha, \beta, \gamma)} \varepsilon_{mn}^*, \quad (8)$$

где  $S_{ijmn}^{(\alpha, \beta, \gamma)}$  – тензор Эшелби,

$$S_{ijmn}^{(\alpha, \beta, \gamma)} = \frac{1}{8\pi} C_{pqmn}^{(\alpha, \beta, \gamma)} \int_{-1}^1 \int_0^{2\pi} \{ \tilde{G}_{ipjq}^{(\alpha, \beta, \gamma)}(\vec{\xi}) + \tilde{G}_{jpiq}^{(\alpha, \beta, \gamma)}(\vec{\xi}) \} d\theta d\bar{\xi}_3. \quad (9)$$

Для нахождения неизвестных значений тензора свободных деформаций с помощью выражений (8), (9) и уравнений эквивалентности (2) получим систему линейных алгебраических уравнений, коэффициенты которой зависят от двойных интегралов типа (9), не имеющих каких-либо особенностей в области интегрирования.

Для определения концентрации напряжений в анизотропной среде со сфероидальным включением можно вначале согласно формулам (9) вычислить тензор Эшелби, а затем из уравнений эквивалентности для включения – деформации  $\varepsilon_{ij}^*$ . Тензор Эшелби вычисляли с помощью метода квадратур Гаусса. После нахождения деформаций  $\varepsilon_{ij}^*$  в соответствии с формулами (2), (8) определяли напряженное состояние внутри включения. Однако для определения концентрации напряжений необходимо вычислить значения напряжений в точках среды, примыкающих к границе раздела фаз. Поэтому для нахождения распределения напряжений во внешних точках сфероидальной поверхности использовали формулы скачка напряжений при переходе через границу включения [11]:

$$[\sigma_{ij}] = \sigma_{ij}^{out} - \sigma_{ij}^{in} = C_{ijkl}^{(\alpha, \beta, \gamma)} \{ -C_{pqmn}^{(\alpha, \beta, \gamma)} \varepsilon_{mn}^* n_q n_l N_{kp}(\vec{n}) / D(\vec{n}) + \varepsilon_{kl}^* \},$$

где  $n_i$  – компоненты нормали поверхности; обозначения  $N_{ij}(\vec{\xi})$  и  $D(\vec{\xi})$  даны в формулах (5).

**Анализ результатов числовых исследований.** При вычислении компонент тензора Эшелби использовали квадратурные формулы Гаусса по 24 и 48 узлам по каждой из переменных. Настоящий подход тестировался на задачах для трансверсально-изотропной среды со сфероидальной полостью, ось вращения которой совпадала с осью трансропии. Для решения задач о концентрации напряжений в трансверсально-изотропном материале, содержащем сферическую или сфероидальную полость, при одно- и двухосном растяжении использовали данные работы [1], и расчетные напряжения сравнивали с величинами на соответствующих кривых. Для более тщательного контроля результатов расчетов воспользуемся также таблицей данных [1]. Результаты сравнения полученных значений концентрации напряжений при двухосном растяжении  $\sigma_x^0 = \sigma_y^0 = 1$ ;  $\sigma_z^0 = 0$  в трансверсально-изотропном теле со сфероидальной полостью с данными [1] приведены в таблице.

Сравнение полученных значений концентрации напряжений с данными [1]

Коэффициенты Пуассона	$E/E'$	$E'/G'$	$a_3/a_1$ , равное		
			5	1,667	1
$\nu = \nu' = 0,33$	2	3	2,92945 (2,928)	2,67587 (2,676)	2,42388 (2,424)
$\nu = \nu' = 0,33$	2	7	2,95436 (2,953)	2,79613 (2,796)	2,61426 (2,614)
$\nu = 0,1$ ; $\nu' = 0,33$	2	3	2,19541 (2,195)	2,07023 (2,070)	1,93840 (1,938)
$\nu = 0,1$ ; $\nu' = 0,33$	2	7	2,20742 (2,206)	2,12849 (2,128)	2,03518 (2,035)
$\nu = 0,33$ ; $\nu' = 0,1$	2	3	2,93793 (2,937)	2,71345 (2,713)	2,47944 (2,479)
$\nu = 0,33$ ; $\nu' = 0,1$	2	7	2,95744 (2,956)	2,80923 (2,809)	2,63581 (2,636)

**Примечание.** В скобках приведена концентрация напряжений, полученная на основании замкнутого решения задачи с использованием аппарата обобщенных аналитических функций [1].

Таким образом, апробация подхода на тестовых задачах, имеющих точные решения, для трансверсально-изотропной среды со сферической и сфероидальной полостями, ось вращения которых совпадала с осью трансропии, показала достаточно высокую эффективность подхода.

Рассмотрим концентрации напряжений в ортоотропном материале со сфероидальной сжатой полостью с отношением полуосей  $a_3/a_1 = 0,3$ . В качестве материала среды используем ортоотропный материал со следующими упругими характеристиками [14] (табл. 7, ортогонально-армированный стеклопластик 2:1):  $E_1^* = 3,68$ ;  $E_2^* = 2,68$ ;  $E_3^* = 1,10$ ;  $G_{12}^* = 0,50$ ;  $G_{23}^* = 0,41$ ;  $G_{31}^* = 0,45$ ;  $\nu_{12} = 0,105$ ;  $\nu_{23} = 0,431$ ;  $\nu_{31} = 0,405$ , где  $E_i = E_i^* \cdot 0,980665$  ( $i = 1, 2, 3$ );  $G_{ij} = G_{ij}^* \cdot 0,980665$  ( $i, j = 1, 2, 3$ ). Величины модулей Юнга и

сдвига приведены в  $\text{H}/\text{м}^2$ . Предполагается, что основное поле напряжений в среде соответствует одноосному растяжению вдоль оси вращения полости.

На рис. 1 показано изменение напряжений  $\sigma_{\parallel}$  вдоль поверхности полости в сечениях  $xz$  (от вершины на оси  $Ox$  до вершины на оси  $Oz$ , рис. 1,а,в) и  $yz$  (от вершины на оси  $Oy$  до вершины на оси  $Oz$ , рис. 1,б,г) при значениях углов поворота  $\alpha, \beta = 0, 30, 60, 90^\circ$ . Остальные значения углов поворота равны нулю.

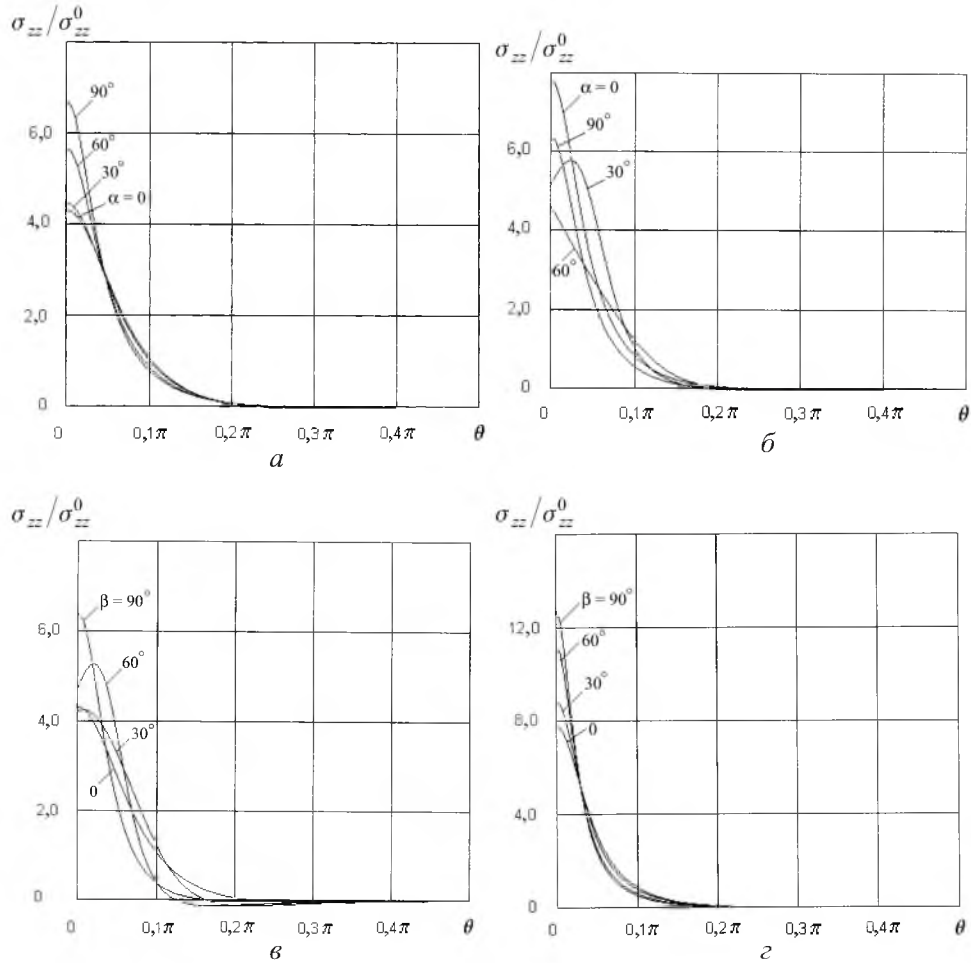


Рис. 1. Распределение напряжений вдоль поверхности полости в сечениях  $xz$  (а) и  $yz$  (б) при  $\alpha \neq 0$ , а также  $xz$  (в) и  $yz$  (г) при  $\beta \neq 0$ .

Отметим, что ориентации малой полуоси полости (оси  $Oz$ ) вдоль старой оси  $Oy$  соответствует значение  $\alpha = 90^\circ$ , ориентации вдоль оси  $Oz$  –  $\beta = 90^\circ$ . Видно, что при повороте полости вокруг оси  $Ox$  соответствующие значения напряжений в сечении  $xz$  (рис. 1,а) для расчетных параметров увеличиваются и их максимум достигается в вершине на оси  $Ox$ . При этом соответствующие значения напряжений увеличились на 56,13% ( $\alpha = 0$  и  $90^\circ$ ). В сечении  $yz$  (рис. 1,б) при повороте вокруг оси  $Ox$  напряжения вначале уменьшаются, а затем несколько увеличиваются. При этом максимальные

значения напряжений в отдельных случаях смещаются из вершины сфероиды на оси  $Ox$ . Изменение концентрации напряжений в этом сечении в зависимости от угла поворота  $\alpha$  также значительное (от 7,792 при  $\alpha = 0$  до 4,602 при  $\alpha = 60^\circ$ ). Рис. 1, в, г иллюстрирует изменение напряжений в сечениях  $xz$  и  $yz$  вдоль поверхности полости (между теми же вершинами, что и на рис. 1, а, б) при изменении угла поворота  $\beta$  вокруг оси  $Oy$ . В сечении  $xz$  напряжения при угле поворота  $\beta$  вначале уменьшаются, а затем повышаются. Наименьшие их значения (4,208) достигнуты при  $\beta = 30^\circ$ , наибольшие (6,3856) – при  $\beta = 90^\circ$ . В сечении  $yz$  напряжения растут при угле поворота  $\beta$  вокруг оси  $Oy$  и их значения изменяются от 7,792 при  $\beta = 0$  до 12,806 при  $\beta = 90^\circ$ . Особенно значительной есть концентрация напряжений при ориентации оси вращения полости вдоль оси  $Ox$  ( $\beta = 90^\circ$ ), которая примерно на 64,3% выше, чем при ориентации малой полуоси сфероиды вдоль оси  $Oz$  ( $\beta = 0$ ).

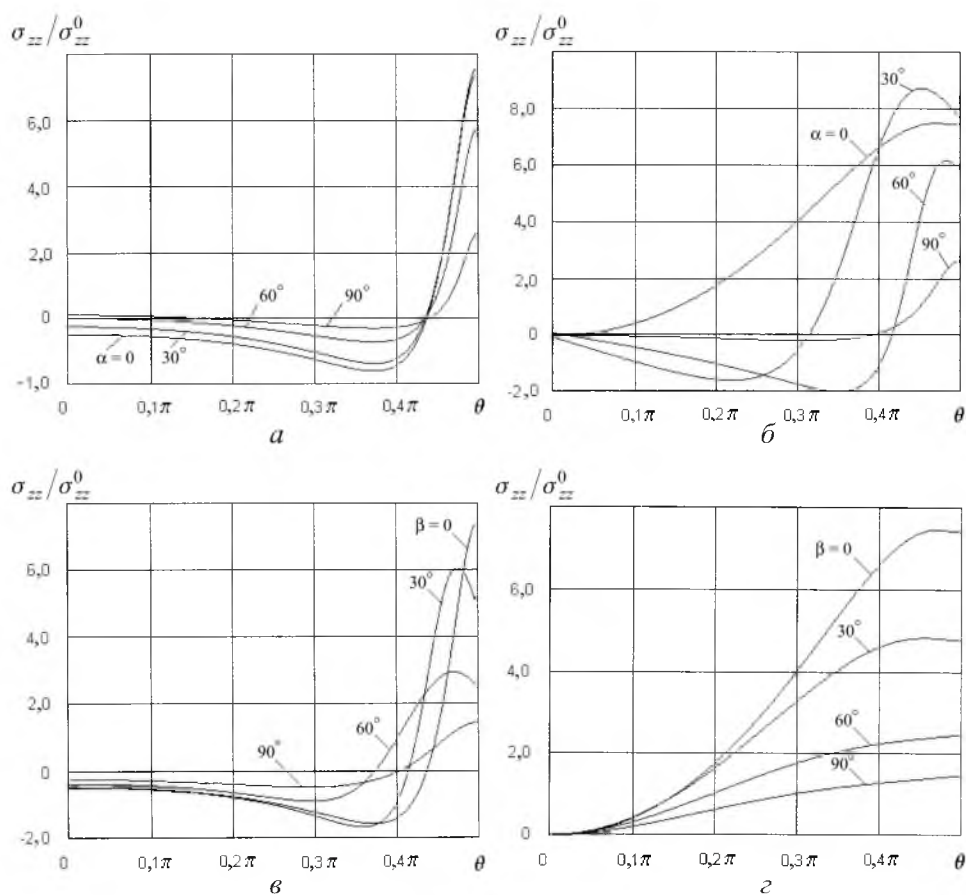


Рис. 2. Распределение напряжений вдоль поверхности жесткого включения в сечениях  $xz$  (а) и  $yz$  (б) при  $\alpha \neq 0$ , а также  $xz$  (в) и  $yz$  (г) при  $\beta \neq 0$ .

Рассмотрим случай растяжения ортотропного пространства с жестким изотропным вытянутым сфероидальным включением,  $a_1 = a_2 = 1$ ;  $a_3 = 3$ . Как и в предыдущем примере, полагаем, что имеет место одноосное растяжение

вдоль оси вращения сфероида  $\sigma_{zz}^0$ . На рис. 2,а,в показано изменение напряжений  $\sigma_{zz}$  вдоль поверхности включения в сечении  $xz$ , на рис. 2,б,г – в сечении  $yz$ . Концентрацию напряжений исследовали между теми же вершинами, что и для полости. Несложно увидеть, что при повороте вокруг оси  $Ox$  наибольшие значения напряжений в исследуемых случаях достигнуты при  $\alpha = 30^\circ$ , наименьшие – при  $\alpha = 90^\circ$ . Так, в сечении  $yz$  напряжения максимальны (8,718) при  $\alpha = 30^\circ$ , при  $\alpha = 90^\circ$  они составляют 2,6319. Отметим, что наибольшие значения напряжений могут сдвигаться из вершины сфероида на оси  $Oz$  (рис. 2,б,в).

Таким образом, ориентация в ортотропном материале полостей и включений сфероидальной формы наряду со свойствами составляющих фаз, геометрией неоднородностей и характером нагрузок оказывает в ряде случаев очень существенное влияние на концентрацию напряжений.

## Резюме

Розглянуто задачу концентрації напружень у ортотропному пружному середовищі, що містить довільно орієнтовану сфероїдальну порожнину або включення. Для побудови розв'язку задачі використовуються метод еквівалентного включення, потрійне перетворення Фур'є по просторовим змінним та Фур'є-образ функції Гріна для нескінченного анізотропного простору. При обчисленні деяких подвійних інтегралів по скінченній області використовуються квадратурні формули Гаусса. Проведено порівняння результатів досліджень у спеціальних випадках із даними інших авторів. Досліджено вплив орієнтації неоднорідності на концентрацію напружень.

1. Александров А. Я., Вольперт В. С. Некоторые задачи о концентрации напряжений около эллипсоидальной полости в трансверсально-изотропном теле // Изв. АН СССР. Механика твердого тела. – 1970. – № 1. – С. 115 – 121.
2. Александров А. Я., Соловьев Ю. И. Пространственные задачи теории упругости. – М.: Наука, 1978. – 464 с.
3. Головчан В. Т. К решению тройкопериодических задач статики упругого тела со сферическими включениями // Прикл. механика. – 1986. – 22, № 7. – С. 29 – 39.
4. Николаев А. Г., Проценко В. С. Первая и вторая осесимметричные задачи теории упругости для двухсвязных областей, ограниченных поверхностями сферы и сфероида // Прикл. математика и механика. – 1990. – 24, № 1. – С. 65 – 74.
5. Подильчук Ю. Н. Граничные задачи статики упругих тел. – Киев: Наук. думка, 1984. – 303 с.
6. Улитко А. Ф. Метод собственных векторных функций в пространственных задачах теории упругости. – Киев: Наук. думка, 1979. – 261 с.
7. Эшелби Дж. Континуальная теория дислокаций. – М.: Изд-во иностр. лит., 1963. – 287 с.

8. *Kinoshita N. and Mura T.* Elastic fields of inclusions in anisotropic media // *Phys. Stat. Sol. (a)*. – 1971. – **5**. – P. 759 – 768.
9. *Kirilyuk V. S.* On interaction of an ellipsoidal inclusion with elliptic crack in elastic material under triaxial tension // *Int. Appl. Mech.* – 2003. – **39**, No. 6. – P. 91 – 100.
10. *Kirilyuk V. S.* On stress state of elastic medium with elliptic crack and two ellipsoidal inclusions // *Ibid.* – 2003. – **39**, No. 7. – P. 94 – 105.
11. *Mura T.* *Micromechanics of defects in solids*. – Boston; London: Martinus Nijhoff, 1987. – 587 p.
12. *Подильчук Ю. Н.* Точные аналитические решения пространственных граничных задач статики трансверсально-изотропного тела канонической формы (обзор) // *Прикл. механика*. – 1997. – **33**, № 10. – С. 3 – 30.
13. *Немши Ю. Н.* Развитие аналитических методов в трехмерных задачах статики анизотропных тел (обзор) // *Прикл. механика*. – 2000. – **36**, № 2. – С. 3 – 38.
14. *Лехницкий С. Г.* *Теория упругости анизотропного тела*. – М.: Наука, 1977. – 415 с.

Поступила 17. 11. 2004